

П. И. ЕФИМОВ

## УРАВНИВАНИЕ НЕКОТОРЫХ ТИПОВЫХ ЛИНЕЙНО-УГЛОВЫХ ПОСТРОЕНИЙ

Под линейно-угловыми геодезическими построениями условимся понимать такие построения, в фигурах которых измеряются все углы и некоторые стороны. Число измеренных сторон в фигурах — не менее двух. Простейшие схемы таких построений, используемые при строительстве инженерных сооружений и при маркшейдерских работах, изображены на рисунке.

Отличительной особенностью линейно-угловых построений является характер уравнительных вычислений. Очевидно, такие построения следует уравнивать не при условии минимума суммы квадратов поправок только в углы, а при условии минимума суммы квадратов поправок во все измеренные элементы, то есть

$$[p_{\beta} v_{\beta}^2] + [p_s v_s^2] = \min, \quad (1)$$

где  $v_{\beta}$  и  $v_s$  — поправки в измеренные углы и стороны, а  $p_{\beta}$  и  $p_s$  — веса.

Для уравнивания указанных на рисунке фигур при условии (1) нужно прежде всего установить соответствующие веса угловых и линейных измерений. Приняв вес измеренного угла равным единице, получаем

$$p_{s_i} = \frac{m_{\beta}^2}{m_{s_i}^2} \quad \text{и} \quad q_i = \frac{m_{s_i}^2}{m_{\beta}^2}, \quad (2)$$

где  $m_{s_i}$  и  $m_{\beta}$  — средние квадратические ошибки измерения  $i$  стороны и углов построения.

Средние квадратические ошибки единицы веса и измеренной стороны после уравнивания вычисляются по формулам:

$$\mu = \pm \sqrt{\frac{[v_{\beta}^2] + \left[\frac{v_s^2}{q}\right]}{r}} \quad (3)$$

$$\text{и} \quad m_{s_i} = \pm \mu \sqrt{q_i}, \quad (4)$$

где  $v_{\beta}$  и  $v_s$  — поправки в измеренные углы и стороны;  $r$  — число условных уравнений;  $q_i$  определяется по формуле (2).

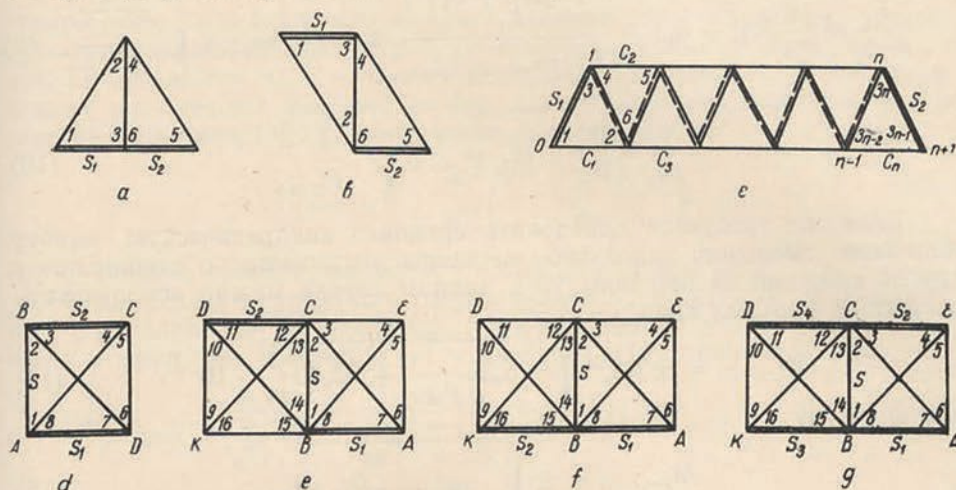
Типовые линейно-угловые построения  $a$ ,  $b$  и  $c$ , изображенные на рисунке, состоят из треугольников и отличаются друг от друга лишь количеством входящих в них фигур. Поэтому для них могут быть получены общие формулы поправок в углы и стороны через коэффициенты

условных уравнений и их свободные члены. Величины последних определяются по непосредственно измеренным углам и сторонам.

Кроме  $n$  условий фигур треугольников в этих построениях возникает еще условие сторон, которое в общем виде таково:

$$\Delta_1(S_1) + \delta_1(1) - \delta_2(2) + \delta_4 - (4) - \delta_5(5) + \dots + \delta_{3n-2}(3n-2) - \delta_{3n-1}(3n-1) - \Delta_2(S_2) + \omega_s = 0, \quad (5)$$

где  $\Delta_1$  и  $\Delta_2$  — изменение логарифмов длин измеренных сторон при изменении длин на 1 мм;  $\delta_{3i-2}$  и  $\delta_{3i-1}$  — изменение логарифмов синусов связующих углов при изменении самих углов на 1'';  $\omega_s$  — свободный



Типовые линейно-угловые построения.

член уравнения, вычисленный по измеренным углам и сторонам; ( $\Delta_1$ ,  $\Delta_2$ ,  $\delta_{3i-2}$  и  $\delta_{3i-1}$  выбираются из таблиц в шестом знаке логарифмов).

Составив нормальные уравнения коррелят и решив их, получаем

$$K_s = \frac{\rho_1 \omega_{\beta_1} + \rho_2 \omega_{\beta_2} + \dots + \rho_n \omega_{\beta_n} - 3\omega_s}{2 \sum_1^n R + 3(\omega_1 + \omega_2)}, \quad (6)$$

а формулы для поправок в углы имеют вид

$$\begin{aligned} (3i-2) &= -\frac{\omega_{\beta_i}}{3} - \left(\frac{\rho_i}{3} - \delta_{3i-2}\right) K_s; \\ (3i-1) &= -\frac{\omega_{\beta_i}}{3} - \left(\frac{\rho_i}{3} - \delta_{3i-3}\right) K_s; \quad (3i) = -\frac{\omega_{\beta_i}}{3} + \frac{\rho_i}{3} K_s, \end{aligned} \quad (7)$$

причем величина  $\frac{\rho_i}{3} K_s$  всегда со знаком минус для построений  $a$  и  $b$  (см. рисунок) и с плюсом или минусом для построения  $c$  в зависимости от положения промежуточного угла  $3i$  по отношению ходовой линии.

В формулах (6) и (7) кроме обозначений, принятых ранее,  $\omega_i = q_i \Delta^2_i$

$$R_i = \delta_{3i-2}^2 + \delta_{3i-1}^2 + \delta_{3i-2} \delta_{3i-1}; \quad \rho_i = \delta_{3i-2} - \delta_{3i-1}; \quad \omega_{\beta} -$$

свободные члены условных уравнений фигур, вычисленные по измеренным углам.



Поправки в измеренные стороны  $S_1$  и  $S_2$  вычисляются по формуле

$$v_{s_i} = q_i \Delta_i K_s. \quad (8)$$

Что касается оценки точности какой-либо вычисленной стороны построения  $a$ ,  $b$  или  $c$  (см. рисунок) и ее дирекционного угла, то для этого можно использовать известные формулы, определяющие  $\frac{1}{\rho_{\text{эл}}}$  и  $m_{\text{эл}}$  с учетом еднako уравновешивания под условием (1). Приняв это во внимание, получаем [2]

$$\frac{1}{\rho_{1g s_i}} = \left( \frac{2}{3} [R]_1^t + \omega_1 \right) - \frac{\left( \frac{2}{3} [R]_1^t + \omega_1 \right)}{\frac{2}{3} [R]_1^n + \omega_1 + \omega_2} \quad \text{и} \quad m_{1g s_i} = \pm \mu \sqrt{\frac{1}{\rho_{1g s_i}}}, \quad (9)$$

$$\frac{1}{\rho_{a_i}} = \frac{2}{3} i \quad \text{и} \quad m_{a_i} = \pm \mu \sqrt{\frac{1}{\rho_{a_i}}}. \quad (10)$$

Если же требуется определить среднюю квадратическую ошибку линейного смещения какой-либо вершины построения по отношению к другой смежной ей вершине, то в данном случае можно использовать известную формулу вида

$$M_{i \rightarrow (i-1)} = \pm \mu S_i^M \sqrt{5,30 \frac{1}{\rho_{1g s_i}} + 23,50 \frac{1}{\rho_{a_i}} \cdot 10^{-6}} \quad (11)$$

или формулу

$$M_{i \rightarrow (i-1)} = \pm \sqrt{m_{s_i}^2 + \frac{m_{a_i}^2}{\rho^{n2}} \cdot S_i^2}. \quad (12)$$

Однако в практике геодезических и маркшейдерских работ часто возникает необходимость знать ошибки не только взаимного положения двух каких-либо смежных пунктов данного построения, но и ошибки его пунктов, не смежных между собой и отдаленных друг от друга на значительное расстояние.

Наметив ходовую линию по вершинам промежуточных углов треугольников, составляющих построение, примем вычисленные связующие стороны треугольников за непосредственно измеренные величины, а ошибки длин этих сторон и ошибки их дирекционных углов — за ошибки непосредственных измерений [1].

Формулу для вычисления средней квадратической ошибки в положении конечной вершины построения по отношению его начальной вершины (например, вершины  $n+1$  по отношению вершины  $O$  построения  $c$ ) можно представить в таком виде

$$M_{(n+1)-0}^2 = M_{1-0}^2 + M_{2-1}^2 + \dots + M_{(n+1)-n}^2, \quad (13)$$

или

$$M_{(n+1)-0}^2 = \sum m_{s_{\text{изм}}}^2 + \sum m_{s_{\text{выч}}}^2 + \frac{\mu^{n2}}{\rho^{n2}} \sum_{i=0,1}^{i=n, (n+1)} \frac{1}{\rho_{a_i}} [S^2]_i^{n, (n+1)}, \quad (14)$$

причем последний член формулы (14) такой:

$$\frac{\mu^{n2}}{\rho^{n2}} \left\{ \frac{1}{\rho_{a_{0,1}}} (S_{0,1}^2 + S_{1,2}^2 + \dots + S_{(n-1), n}^2 + S_{n, (n+1)}^2) + \frac{1}{\rho_{a_{1,2}}} (S_{1,2}^2 + S_{2,3}^2 + \dots + S_{n, (n+1)}^2) + \dots + \frac{1}{\rho_{a_{n, (n+1)}}} S_{n, (n+1)}^2 \right\}. \quad (15)$$



В указанных формулах приняты следующие обозначения:  $m_s$  — средние квадратические ошибки уравненных измеренных и вычисленных связующих сторон треугольников построения;  $\mu$  — средняя квадратическая ошибка единицы веса;  $S_{i(i+1)}$  — длина связующей стороны треугольника построения:  $\frac{1}{\rho_{\alpha_i(i+1)}}$  — обратный вес дирекционного угла этой стороны.

Предлагаемая формула может быть также использована для вычисления ошибки линейного смещения не только конечной вершины построения по отношению к начальной, но и любой промежуточной по отношению как начальной вершины, так и промежуточной.

Формула (14) не является строгой. Ее применение ограничивается числом треугольников в построении. Следовательно, необходимо установить границы применения формулы и потерю точности вычисления по ней. Наиболее просто и наглядно эти два вопроса решаются сопоставлением результатов вычисления  $M_{(n+1) \rightarrow 0}$  по предложенной формуле и строгой формуле в [3], которую можно записать так:

$$M_{(n+1) \rightarrow 0}^2 = L^2 \frac{\mu''^2}{\rho''^2} \left( \frac{2\nu^2 - 3\nu + 10}{9\nu} \right), \quad (16)$$

где  $L$  — длина диагонали ряда, а  $\nu$  — число сторон в ней.

Если ряд из правильных треугольников построения с прямолинейный и уравнивается за условия фигур и твердых сторон с их дирекционными углами при условии  $\{\nu\frac{2}{3}\}$ , то формула (14) принимает вид

$$M_{(n+1) \rightarrow 0}^2 = \sum_{c=1}^{c=n-2} m_c^2 + \frac{\mu''^2}{\rho''^2} \left\{ \frac{1}{\rho_{\alpha_1}} \nu + \frac{1}{\rho_{\alpha_2}} (\nu - 1) + \dots + \frac{1}{\rho_{\alpha_{(n-1) \cdot (n-1)}}} \right\}. \quad (17)$$

В этой формуле величины  $m_c$  и  $\frac{1}{\rho_{\alpha c}}$  вычисляются так, как предложено

в [3]. Применяя формулу (17) для рядов с разным числом правильных треугольников и приняв  $\mu = \pm 2,0''$  и  $S = 2$  км, сопоставим результаты вычисления  $M_{(n+1) \rightarrow 0}$  по этой формуле с теми, которые получены по (16):

$n$	$\nu$	$M$		$n$	$\nu$	$M$	
		по (17)	по (16)			по (17)	по (16)
1	1	$\pm 21$	$\pm 20$	7	4	$\pm 73$	$\pm 70$
3	2	32	31	9	5	100	92
5	3	51	49	11	6	131	118

Данные достаточно убедительны. Следовательно, формула (14) может быть использована при оценке точности линейно-угловых построений, состоящих из небольшого количества фигур, что, как правило, и имеет место при специальных геодезических и маркшейдерских работах.

Так как эти построения в принятых вариантах не уравниваются за условие дирекционных углов, то формула (14) принимает вид

$$M_{(n+1) \rightarrow 0}^2 = \Sigma m_{s_{изм}}^2 + \Sigma m_{s_{выч}}^2 + \frac{2\mu''^2}{3\rho''^2} \left\{ (S_{0,1}^2 + S_{1,2}^2 + \dots + S_{n,(n+1)}^2) + \right. \\ \left. + 2(S_{1,2}^2 + S_{2,3}^2 + \dots + S_{n,(n+1)}^2) + \dots + nS_{n,(n+1)}^2 \right\}. \quad (18)$$

Здесь величины  $m_{s_{выч}}$  вычисляются по формуле (9), а  $m_{s_{изм}}$  — по (4).

При уравнивании линейно-угловых построений  $d$ ,  $e$ ,  $f$  и  $q$  (см. рисунок) целесообразно применить двухгрупповой метод.



Пользуясь рекомендациями Ф. Н. Красовского [4], все три условных уравнения фигур, например построения  $d$ , можно отнести к первой группе условных уравнений с последующей разбивкой ее на две подгруппы: в первую подгруппу включаются условия треугольников  $ABC$  и  $ADC$ , а во вторую — третье условное уравнение, то есть уравнение, даваемое треугольником, например  $BCD$ . Исправив углы треугольников  $ABC$  и  $ACD$  поправками, равными соответственно  $-\frac{\omega_1}{3}$  и  $-\frac{\omega_2}{3}$  ( $\omega_1$  и  $\omega_2$  — невязки треугольников  $ABC$  и  $ACD$ ), вычислим затем невязку в треугольнике  $BCD$ . Получаем

$$\omega_3 = \omega_3 - \frac{\omega_1 - \omega_2}{2}, \quad (19)$$

где  $\omega_3$  — невязка треугольника  $BCD$ , найденная по измеренным углам.

Суммарные поправки углов применительно к обозначениям на рисунке  $d$  следующие:

$$\left. \begin{aligned} (1)' = (2)' &= -\frac{\omega_1}{4} + \frac{\omega_3'}{4}; & (5)' = (6)' &= -\frac{\omega_1}{4} - \frac{\omega_3'}{4}; \\ (3)' = (4)' &= -\frac{\omega_2}{4} - \frac{\omega_3'}{4}; & (7)' = (8)' &= -\frac{\omega_2}{4} + \frac{\omega_3'}{4}. \end{aligned} \right\} \quad (20)$$

Таким образом, для получения первичных поправок в углы нужно сначала в каждом из двух треугольников  $ABC$  и  $ADC$ , не имеющих общих углов, исправить углы четвертью его невязки; затем углы этих же двух треугольников, не входящие в треугольник  $BCD$ , исправляются добавочной поправкой  $+\frac{\omega_3}{4}$ , а углы тех же треугольников  $ABC$  и  $ADC$ , входящие в треугольник  $BCD$ , поправкой  $-\frac{\omega_3'}{4}$ .

Такое правило определения первичных поправок в углы можно распространить кроме построения  $d$  и на другие построения из четырехугольников. С исправленными в указанном порядке углами составим условные уравнения полюсов и сторон. Преобразование коэффициентов при поправках в углы и в стороны произведем соответственно по формулам

$$L_{\beta_i} = l_{\beta_i} - \frac{[l_{\beta}]}{4} \quad \text{и} \quad L_{s_i} = L_{s_i} \sqrt{q_i}, \quad (21)$$

где  $L_{\beta_i}$ ,  $L_{s_i}$ ,  $l_{\beta_i}$  и  $l_{s_i}$  — преобразованные и непреобразованные коэффициенты при поправках в углы и стороны уравнений второй группы, причем через  $A$  и  $B$  обозначим преобразованные коэффициенты уравнений полюсов, а через  $C$  и  $D$  — уравнений сторон.

Условные уравнения полюса и сторон применительно к построению  $d$  имеют вид:

$$\begin{aligned} \delta_1(1) - \delta_2(2) + \delta_3(3) - \delta_4(4) + \delta_5(5) - \delta_6(6) + \delta_7(7) - \delta_8(8) + \omega_n' &= 0; \\ \Delta_1(S_1) + \delta_2(2) - \delta_7(7) + \delta_1(1) - \delta_4(4) - \Delta_2(S_2) + \omega_s' &= 0, \end{aligned} \quad (22)$$

где  $\omega_n^1$  и  $\omega_s^1$  — свободные члены условных уравнений полюса и сторон, вычисленных по первично исправленным углам ( $\delta$  и  $\Delta$  выбираются из таблиц в шестом знаке логарифмов).

Вторичные поправки в углы вычисляются, как обычно, через преобразованные коэффициенты условных уравнений второй группы и через



соответствующие коррелаты, значения которых определяются по готовым формулам, то есть минуя стадию составления нормальных уравнений и их решения.

Наиболее ответственным вычисленным элементом построений  $d$ ,  $e$ ,  $f$  и  $g$  является сторона  $S$  (обычно ось инженерного сооружения). Ограничимся нахождением величин средних квадратических ошибок длины этой стороны ( $m_s$ ) и ее дирекционного угла ( $m_{\alpha_s}$ ) с последующим использованием формулы (11) или (12). Выражения для весовых функций  $f_s$  и  $f_{\alpha_s}$  имеют вид:

$$f_s = \Delta_1(S_1) + \delta_7(7) - \delta_2(2), \quad f_{\alpha_s} = (7) + (2). \quad (23)$$

Вычисление величин  $= \frac{1}{p_{эл}}$  и  $m_{эл}$  произведем по известным формулам вида:

$$\frac{1}{p_{эл}} = [FF] - \frac{[AF]^2}{[AA]} - \frac{[CF \cdot 1]^2}{[CC \cdot 1]}; \quad (24) \quad m_{эл} = \pm \mu \sqrt{\frac{1}{p_{эл}}}, \quad (25)$$

где  $F$ ,  $A$  и  $C$  — преобразованные коэффициенты весовой функции, условия полюса и сторон.

Уравнивание построения  $d$  (см. рисунок). После преобразования коэффициентов условных уравнений вида (22) по формулам (21) и решения полученных нормальных уравнений имеем

$$K_2 = \frac{-w_s' [AA] + w_n' [AC]}{[AA][CC] - [AC]^2}; \quad K_1 = \frac{-w_n' + [AC]K_2}{[AA]}. \quad (26)$$

Определив величины  $K_2$  и  $K_1$  по формуле (26), получаем вторичные поправки в углы, а затем и в измеренные стороны по формуле (8).

Уравнивание построений  $e$  и  $f$  (см. рисунок). При уравнивании этих построений к первой группе условных уравнений относим условия фигур, даваемые треугольниками  $BCE$ ,  $ABE$ ,  $KDC$ ,  $KCB$ ,  $ABC$  и  $KBD$ . Получаем шесть уравнений:

$$\begin{aligned} (1) + (2) + (3) + (4) + w_1 &= 0; & (5) + (6) + (6) + (7) + (8) + w_2 &= 0; \\ (9) + (10) + (11) + (12) + w_3 &= 0; & (13) + (14) + (15) + (16) + w_4 &= 0; \\ (1) + (2) + (7) + (8) + w_5 &= 0; & (9) + (10) + (15) + (16) + w_6 &= 0. \end{aligned}$$

Следуя тому же правилу определения первичных поправок, как и при уравнивании построения  $d$ , и определив предварительно

$$w_5' = w_5 - \frac{w_1 + w_2}{2} \quad \text{и} \quad w_6' = w_6 - \frac{w_3 + w_4}{2}, \quad (27)$$

находим из следующих выражений первичные поправки в углы:

$$\begin{aligned} (1)' &= (2)' = -\frac{w_1}{4} + \frac{w_5'}{4}; & (3)' &= (4)' = -\frac{w_1}{4} - \frac{w_5'}{4}; \\ (5)' &= (6)' = -\frac{w_2}{4} - \frac{w_5'}{4}; & (7)' &= (8)' = -\frac{w_2}{4} + \frac{w_5'}{4}; \\ (9)' &= (10)' = -\frac{w_3}{4} + \frac{w_6'}{4}; & (11)' &= (12)' = -\frac{w_3}{4} - \frac{w_6'}{4}; \\ (13)' &= (14)' = -\frac{w_4}{4} - \frac{w_6'}{4}; & (15)' &= (16)' = -\frac{w_4}{4} + \frac{w_6'}{4}. \end{aligned} \quad (28)$$

Исправив углы, составляем условные уравнения второй группы вида (22) и, перейдя затем к нормальным уравнениям, решаем их.

Условия полюсов			Условия					
Углы	$A_{d, e, f, g}$	$B_{e, f, g}$	Углы, стороны	$C_d$	Углы, стороны	$C_e$	Углы, стороны	$C_f$
$i=1, 3$	$\delta_i - \frac{1}{4} \theta_1$		1	$\delta_i - \frac{1}{4} \rho_1$	$i=1, 3, 4$	$+\frac{1}{4} \delta_2$	$i=1, 3, 4$	$+\frac{1}{4} \delta_2$
$i=2, 4$	$-\delta_i - \frac{1}{4} \theta_1$		$i=2, 4$	$-\delta_i - \frac{1}{4} \rho_1$	2	$-\frac{3}{4} \delta_2$	2	$-\frac{3}{4} \delta_2$
$i=5, 7$	$\delta_i - \frac{1}{4} \theta_2$		3	$-\frac{1}{4} \rho_1$	$i=5, 6, 8$	$-\frac{1}{4} \delta_7$	$i=5, 6, 8$	$-\frac{1}{4} \delta_7$
$i=6, 8$	$-\delta_i - \frac{1}{4} \theta_2$		$i=5, 6, 8$	$-\frac{1}{4} \rho_1$	7	$+\frac{3}{4} \delta_7$	7	$+\frac{3}{4} \delta_7$
$i=9, 11$		$\delta_i - \frac{1}{4} \theta_3$	7	$+\frac{3}{4} \delta_7$	$i=9, 10, 12$	$+\frac{1}{4} \delta_{11}$	$i=9, 10, 12$	$+\frac{1}{4} \delta_{11}$
$i=10, 12$		$-\delta_i - \frac{1}{4} \theta_3$	$s_1$	$+\Delta_1 \sqrt{q_1}$	11	$-\frac{3}{4} \delta_{11}$	11	$-\frac{3}{4} \delta_{11}$
$i=13, 15$		$\delta_i - \frac{1}{4} \theta_4$	$s_2$	$-\Delta_2 \sqrt{q_2}$	$i=13, 15, 16$	$-\frac{1}{4} \delta_{14}$	13	$\delta_{13} - \frac{1}{4} \rho_2$
$i=14, 16$		$-\delta_i - \frac{1}{4} \theta_4$	$\rho_1 = \delta_1 - \delta_2 - \delta_4$		14	$+\frac{3}{4} \delta_{14}$	$i=14, 15$	$-\frac{1}{4} \rho_2$
	$\theta_1 = \delta_1 - \delta_2 + \delta_3 - \delta_4$				$s_1$	$+\Delta_1 \sqrt{q_1}$	16	$-\delta_{16} - \frac{1}{4} \rho_2$
	$\theta_2 = \delta_5 - \delta_6 + \delta_7 - \delta_8$				$s_2$	$-\Delta_2 \sqrt{q_2}$	$s_1$	$+\Delta_1 \sqrt{q_1}$
	$\theta_3 = \delta_9 - \delta_{10} + \delta_{11} - \delta_{12}$						$s_2$	$-\Delta_2 \sqrt{q_2}$
	$\theta_4 = \delta_{13} - \delta_{14} + \delta_{15} - \delta_{16}$						$\rho_2 = \delta_{13} - \delta_{16}$	

$$\left. \begin{aligned}
 K_3 &= - \frac{[BB][AC] w'_{n_1} + [AA][BC] w'_{n_2} - [AA][BB] w'_{s_1}}{[AC]^2 [BB] + [BC]^2 [AA] - [AA][BB][CC]} \\
 K_2 &= - \frac{w'_{n_2} + [BC] K_3}{[BB]} ; \quad K_1 = - \frac{w'_{n_1} + [AC] K_3}{[AA]}
 \end{aligned} \right\} \quad (29)$$

В этих выражениях  $w'_s$ ,  $w'_{n_1}$  и  $w'_{n_2}$  — свободные члены условных уравнений сторон и полюсов, вычисленные по первично исправленным углам.

Определив корреляты  $K_3$ ,  $K_2$  и  $K_1$ , находим вторичные поправки в углы. Поправки в стороны вычисляются по формуле (8).

Уравнивание построения  $g$  (см. рисунок). Дополнительно к шести условиям фигур треугольников в данном случае появляются четыре условных уравнения: два — полюсов и два — сторон. Как и при уравнивании построений  $e$  и  $f$ , условия фигур отнесем к первой группе условных уравнений, а все остальные — ко второй.

Первичные поправки и углы и в данном случае определим по формулам (28). Формулы для нахождения величин коррелят

$$K_4 = \frac{[BD] w'_{n_2} - [BB] w'_{s_2}}{[BB][DD] - [BD]^2} ; \quad K_3 = \frac{[AC] w'_{n_1} - [AA] w'_{s_1}}{[AA][CC] - [AC]^2} ;$$



уравнений второй группы и весовых функций

сторон				Весовые функции			
Углы, стороны	$C_g$	Углы, стороны	$D_g$	Углы, стороны	$F_s$	Углы	$F_{a_s}$
1	$\delta_1 - \frac{1}{4} \rho_3$	$i=9, 10, 12$	$-\frac{1}{4} \delta_{11}$	$i=1, 3, 4$	$+\frac{1}{4} \delta_2$	$i=1, 3, 4$	$-\frac{1}{4}$
$i=2, 4$	$-\delta_i - \frac{1}{4} \rho_3$	11	$+\frac{3}{4} \delta_{11}$	2	$-\frac{3}{4} \delta_2$	2	$+\frac{3}{4}$
3	$-\frac{1}{4} \rho_3$	13	$\delta_{13} - \frac{1}{4} \rho_4$	$i=5, 6, 8$	$-\frac{1}{4} \delta_7$	$i=5, 6, 8$	$-\frac{1}{4}$
$i=5, 6, 8$	$-\frac{1}{4} \delta_7$	$i=14, 16$	$-\delta_i - \frac{1}{4} \rho_4$	7	$+\frac{3}{4} \delta_7$	7	$-\frac{1}{4}$
7	$+\frac{3}{4} \delta_7$	15	$-\frac{1}{4} \rho_4$	$s_1$	$+\Delta_1 \sqrt{q_1}$		
$s_1$	$+\Delta_1 \sqrt{q_1}$	$s_3$	$+\Delta_3 \sqrt{q_3}$				
$s_2$	$-\Delta_2 \sqrt{q_2}$	$s_4$	$-\Delta_4 \sqrt{q_4}$				
$\rho_3 = \delta_1 - \delta_2 - \delta_4$		$\rho_4 = \delta_{13} - \delta_{14} - \delta_{16}$					

$$K_2 = -\frac{w'_{n_2} + [BD]K_4}{[BB]}; \quad K_1 = -\frac{w'_{n_1} + [AC]K_4}{[AA]}. \quad (30)$$

После вычисления вторичных поправок в углы введем поправки в измеренные стороны (8).

При практическом использовании предлагаемых формул уравнения построений  $d$ ,  $e$ ,  $f$  и  $g$  (см. рисунок) рекомендуется таблица, в которой приведены преобразованные коэффициенты условных уравнений второй группы перечисленных построений и преобразованные коэффициенты весовых функций, необходимые для вычислений по формулам (24) и (25).

ЛИТЕРАТУРА

1. Ефимов П. И. Применение формул для оценки точности полигонометрии к триангуляционному ряду. В сб. научн. тр. Криворожского горнорудного ин-та, вып. 6. Металлургиздат, М., 1958.
2. Ефимов П. И. Уравновешивание триангуляционного ряда под условием реального минимума его деформации. В сб. «Геодезия...», вып. 5. Львов, 1966.
3. Изотоев А. А. Оценка точности окончательно уравненной цепи триангуляции. Журн. «Геодезист», № 2, М., 1936.
4. Красовский Ф. Н. Руководство по высшей геодезии, ч. I, вып. 2. Редактура ГУГК при СНК СССР, М., 1939.

Работа поступила  
3 ноября 1969 года.